

УДК 621.391

## ДИНАМИЧЕСКИЙ ХАОС НА ОСНОВЕ НЕЛИНЕЙНОГО ПОДМЕШИВАНИЯ С КОДИРОВАНИЕМ БЛОКА ИНФОРМАЦИОННЫХ СИМВОЛОВ

С.И. ПОЛОВЕНЯ

Белорусский государственный университет информатики и радиоэлектроники  
П. Бровка, 6, Минск, 220013, Беларусь

Поступила в редакцию 2 июля 2010

Рассмотрен метод блочного кодирования информационного потока с последующим нелинейным подмешиванием к динамическому хаосу в кольцевой динамической системе. Метод предполагает генерацию и обработку сигнала как с расширением спектра, так и без него. Предложены алгоритмы формирования сигнала и его обработки. Приведены структурно-функциональные схемы устройств и результаты численного моделирования.

*Ключевые слова:* хаос-процесс, нелинейная динамическая система, помехозащищенный прием.

### Введение

Метод нелинейного подмешивания (НП) информации к динамическому хаосу является наиболее удобным для придания телекоммуникационной системе на его основе свойств структурной скрытности и защищённости информации от перехвата. Аналитически НП в однокольцевой динамической системе определяется выражением

$$h_k = (1-a)f(h_{k-1}, h_{k-2}, \dots, h_{k-N}) + a\lambda_k, \quad (1)$$

где  $h_k$  – последовательность отсчётов хаотического сигнала;  $a \in [0; 1]$  – параметр, задающий степень нелинейного подмешивания информации к хаосу;  $\lambda_k$  – информационное сообщение, мгновенные значения которого не превышают по модулю единицу; натуральное число  $N$  определяет память нелинейной динамической системы.

При  $a = 1$  на модулятор передающего устройства подаётся лишь информационное сообщение  $\lambda_k$ . Если же  $a = 0$ , хаотический сигнал вырождается в хаотический процесс, не несущий полезной информации.

Отличительной чертой НП как метода информационной модуляции хаоса является возможность передачи информационного процесса, значения которого определены непрерывным множеством. В то время как при манипуляции хаотических режимов информационное сообщение должно иметь счётное и конечное число состояний [1]. В этой связи имеется возможность сравнительно простыми методами кодировать блок символов путём нелинейного подмешивания многоуровневой информационной последовательности к хаосу.

### Генерация хаотического сигнала

Структурная схема метода, реализующего алгоритм кодирования блока информации, представлена на рис. 1.

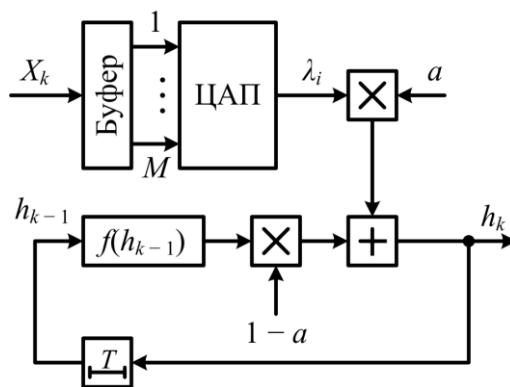


Рис. 1. Структурная схема кодера сигнала  $X_k$  – последовательность информационных символов, формирующая в буфере блоки по  $M$  бит; ЦАП – цифроаналоговый преобразователь;  $\lambda_i$  – многоуровневая последовательность, представляющая собой сообщение;  $f(h_{k-1})$  – нелинейная формирующая функция (НФФ);  $T$  – такт формирования хаотического сигнала (ХС).

Формирователь ХС управляется тактовым генератором, изменяющим состояния системы каждые  $T$  секунд. На выходе ЦАП формируется многоуровневая последовательность  $\lambda_i$ , состояния которой равны одному из  $2^M$  возможных значений. Так как буфер заполняется новым блоком за  $M$  тактов, то период смены состояний последовательности  $\lambda_i$  составляет  $MT$  секунд. Таким образом, в течение  $M$  тактов работы генератора хаотического сигнала передается одно и то же значение информационного сообщения, что позволяет в устройстве обработки сигнала уточнить оценку информационного параметра путём усреднения на некотором интервале времени.

Ниже приведены результаты численного моделирования генератора ХС для длины информационного блока 4 и НФФ в виде:

$$h_k = 0,67 \sin(1,8\pi h_{k-1}) + 0,33\lambda_k \quad (2)$$

Как видно из рис. 2 в отображении прослеживается «гладкий» характер формирующей функции, однако точное определение её параметров затруднительно, на фоне шумов – невозможно, т.к. состояния ХС достаточно равномерно распределены на плоскости.

Первые 50 тактов временных реализаций последовательностей  $\lambda_k$  и  $h_k$  приведены на рис. 3, гистограмма хаотического сигнала приведена на рис. 4.

На гистограмме прослеживается некоторое множество наиболее вероятных значений ХС, определяемое характером НФФ и допустимыми значениями процесса  $\lambda_k$ .

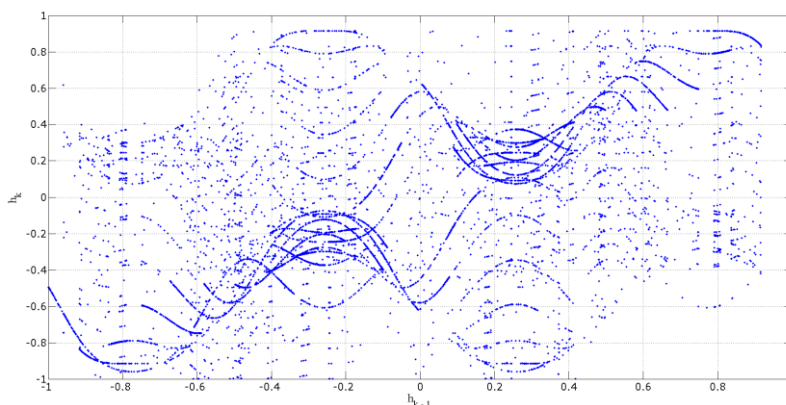


Рис. 2. Отображение хаос-сигнала для случая (2)

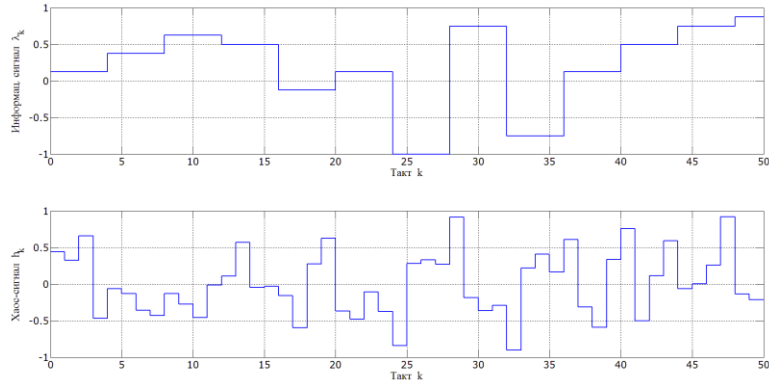


Рис. 3. Временная реализация сообщения и хаотического сигнала

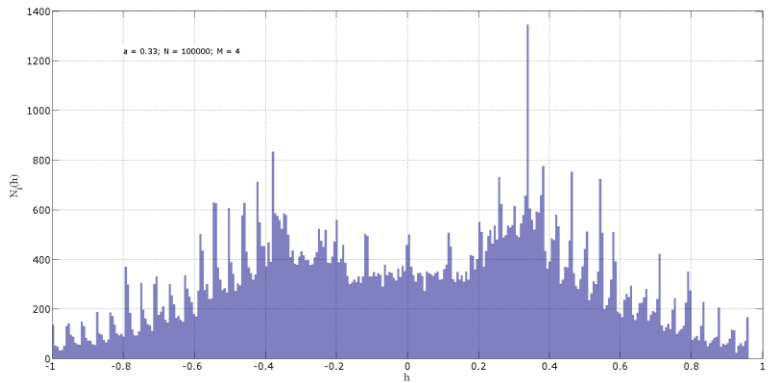


Рис. 4. Гистограмма хаос-сигнала

### Обработка и декодирование информации

Алгоритм обработки также двухступенчатый и предполагает выполнение следующих процедур:

- извлечение информационного процесса  $\lambda_k$  из принятой хаотической последовательности;
- усреднение значений  $\lambda_k$  на интервале времени длительностью  $MT$  и декодирование информационного потока.

Обозначим сигнальную последовательность на выходе демодулятора устройства приёма как  $r_k = h_k + n_k$ , где  $n_k$  – отсчёты помехи. Оценочные значения информационной последовательности  $\lambda_k^*$  будут находиться согласно выражению:

$$\lambda_k^* = \frac{1}{a} r_k - (1-a)f(r_{k-1}) . \quad (3)$$

Структурная схема устройства обработки и декодирования принятого хаотического сигнала приведена на рис. 5.

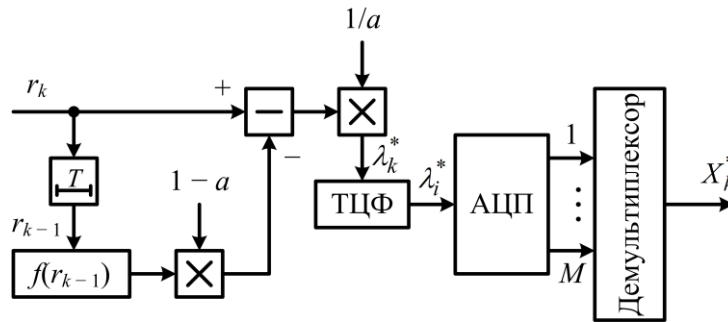


Рис. 5. Декодер хаотического сигнала ТЦФ – трансверсальный цифровой фильтр, осуществляющий усреднение последовательности  $\lambda_k^*$  во времени.

Сложная структура фазовых переходов принимаемого сигнала вместе с шумом показана на рис. 6, где представлена зависимость значений  $r_k$  от  $r_{k-1}$  и  $r_{k-2}$ .

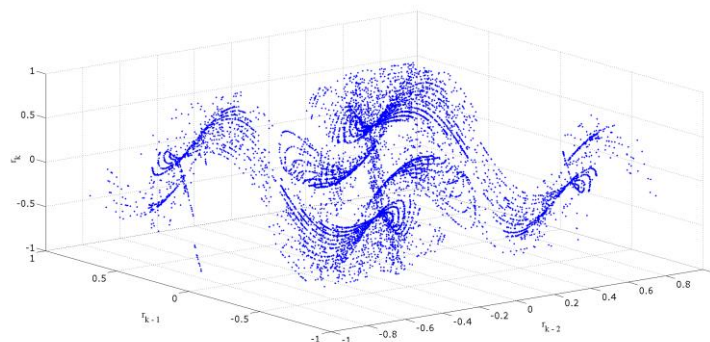


Рис. 6. Двумерное отображение последовательности  $r_k$  при отношении С/Ш равном 24 дБ

Численное моделирование системы передачи информации проводилось для четырёх функций: гладкой; гладкой с разрывами; кусочно-линейной; кусочно-линейной с разрывами. Показано, что разрывы в НФФ ухудшают помехоустойчивость на 2–3 порядка, что делает такие функции неприемлемыми для передачи информации с нелинейным подмешиванием блоков информации.

Семейство кривых помехоустойчивости для различных длин информационных блоков и кусочно-линейной формирующей функции без разрывов приведено на рис. 7.

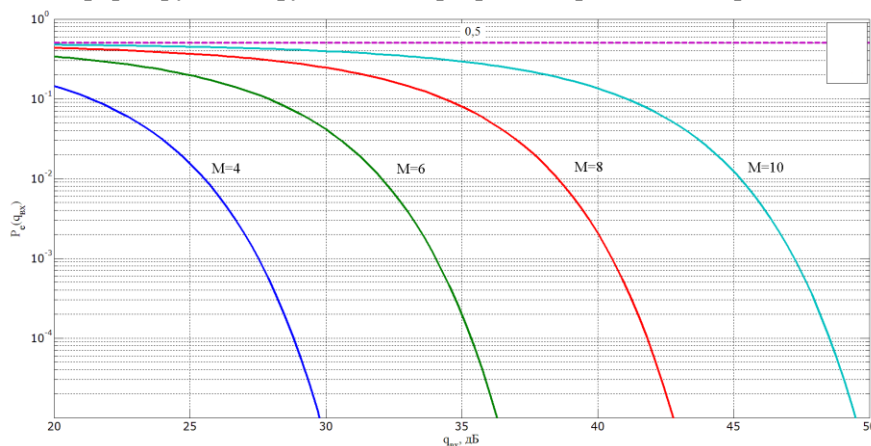


Рис. 7. Семейство кривых помехоустойчивости для  $M$  равного 4, 6, 8 и 10

Объём статистики составил 320 тыс. бит для каждого графика. Из приведённых графиков видно, что помехоустойчивость системы характеризуется некоторыми порогами, что обусловлено гранулярностью многоуровневого процесса  $\lambda_k$ .

## Выводы и практические рекомендации

В работе показана принципиальная возможность повышения конфиденциальности передачи информации с нелинейным подмешиванием при условии, когда динамический хаос формируется на основе простейших одномерных отображений. Укажем особенности предлагаемого метода кодирования и декодирования.

1. По сравнению с манипуляцией хаотических режимов [2] отсутствует необходимость в тщательном выборе НФФ. В предлагаемом методе основным требованием к НФФ является простота и удобство её вычисления в реальном устройстве. Кроме того, в методе лишь одна формирующая функция задаёт структуру и характеристики динамического хаоса вне зависимости от длины информационного блока.

2. Для повышения помехоустойчивости системы желательно минимизировать угол наклона касательных или скорость изменения функции на всей области её определения, а также обязательно исключить разрывы в НФФ.

3. За счёт нелинейного подмешивания информационной последовательности отображение ХС является всегда достаточно сложным, что позитивно сказывается на возможности выявления характера НФФ путём длительного наблюдения реализации сигнала третьей стороной.

4. В устройстве приёма и обработки требуется точная нормировка хаос-сигнала, которая может достигаться за счёт передачи эталонного импульса единичной амплитуды через равные интервалы времени, определяемые степенью нестационарности канала связи.

5. Алгоритм формирования и обработки реализуем для многомерных и составных отображений, а также ориентирован на дискретную обработку сигнала.

## DYNAMIC CHAOS NONLINEAR MIXING CODING OF INFORMATION SYMBOLS BLOCK

S.I. POLOVENYA

### Abstract

Method of block coding information data stream, followed by nonlinear mixing of dynamic chaos in a circular dynamic system. The method involves the generation and signal processing, as with the expansion of the spectrum, and without it.

### Литература

1. Чердынцев В.А., Дубровский В.В. // Материалы IX международной научно-технической конференции «Современные средства связи». Известия Белорусской инженерной академии. 2004. № 2 (18). С. 66–68.
2. Чердынцев В.А., Дубровский В. В., Половения С.И. // Докл. БГУИР. 2009. № 2 (40). С. 5–11.